

The effect of thermocycling on the microleakage of a mixture of copper oxide nanoparticles and flowable composite

Alireza Daneshkazemi¹, Abdolrahim Davari¹, Zahra Usefi², Niloofar Fallah³, Solmaz Ghanbarnejad⁴, Pedram Daneshkazemi⁵

1- Professor, Department of Operative Dentistry, School of Dentistry, Shahid Sadoughi University of Medical Sciences, Yazd, Iran

2- Dentist, School of Dentistry, Shahid Sadoughi University of Medical Sciences, Yazd, Iran

3- Assistant Professor, Department of Pediatric Dentistry, School of Dentistry, Isfahan University of Medical Sciences, Isfahan, Iran

4- Assistant Professor, Department of Materials engineering, School of Materials engineering, Tehran Branch, Islamic Azad University, Tehran, Iran

5- Post-Graduate Student, Department of Orthodontics, School of Dentistry, Isfahan (Khorasan) Branch, Islamic Azad University, Isfahan, Iran

Article Info

Article type:
Original Article

Article History:
Received: 10 Apr 2020
Accepted: 11 Oct 2020
Published: 22 Oct 2020

Corresponding Author:
Pedram Daneshkazemi

Department of Orthodontics, School of Dentistry, Isfahan (Khorasan) Branch, Islamic Azad University, Isfahan, Iran

(Email: pedram_d_k@yahoo.com)

Abstract

Background and Aims: Adding nanoparticles to dental composite resins, could reduce bacterial adhesion and secondary caries. Thermocycling can resemble in-vitro conditions to the oral environment. The aim of this study was to determine the effect of thermocycling on the microleakage of a mixture of copper oxide nanoparticles and flowable composite.

Materials and Methods: In this in-vitro study, 88 premolar teeth were divided into eight groups based on the application of copper oxide nanoparticles with concentrations of 0.1% and 0.3% w/w and thermocycling by 0, 1000, 5000 and 15,000 cycles. The occlusal grooves of the teeth were sealed with the mixture of flowable composite and copper oxide nanoparticles, and the teeth were thermocycled. Next, the teeth were immersed in methylene blue 2% solution for 24 hrs and were cut and the microleakage was evaluated by a stereomicroscope (hp/USA). Data were analyzed using Kruskal-Wallis and Mann-Whitney tests at the significance level of 0.05.

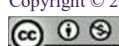
Results: In the groups with 0.1% copper oxide nanoparticles, the mean microleakage increased significantly with increasing the number of thermocycling rounds ($P=0.032$). The difference in the microleakage between the groups exposed to 0 and 15,000 termocycling was significant ($P=0.019$). However, thermocycling had no significant effect on the microleakage of groups with concentration of 0.3% ($P=0.780$). The specimens subjected to the 0, 1000, 5000 and 15000 thermocycling in two concentrations of copper oxide nanoparticles showed no significant difference in the microleakage.

Conclusion: In groups containing copper oxide nanoparticles with a concentration of 0.1%, the microleakage increased by increasing the number of thermocycling up to 15,000 cycles compared to the control group. However, this did not have significant effect for the concentration of 0.3% copper oxide nanoparticles.

Keywords: Thermocycling, Microleakage, Copper oxide nanoparticles, Composite resin

Journal of Dental Medicine-Tehran University of Medical Sciences 2020;33(3):126-137

Cite this article as: Daneshkazemi A, Davari A, Usefi Z, Fallah N, Ghanbarnejad S, Daneshkazemi P. The effect of thermocycling on the microleakage of a mixture of copper oxide nanoparticles and flowable composite. J Dent Med-TUMS. 2020;33(3):126-137.



بررسی آزمایشگاهی اثر ترموسايكلینگ بر میزان ریزنشت مخلوط نانو ذره اکسید مس و کامپوزیت فلو

علیرضا دانش کاظمی^۱، عبدالرحیم داوری^۱، زهرا یوسفی^۲، نیلوفر فلاح^۲، سولماز قنبرنژاد^۳، پدرام دانش کاظمی^۵

۱- استاد گروه آموزشی دندانپزشکی ترمیمی و زیبایی، دانشکده دندانپزشکی، دانشگاه علوم پزشکی شهید صدوقی، بیزد، ایران

۲- دندانپزشک، دانشکده دندانپزشکی، دانشگاه علوم پزشکی شهید صدوقی، بیزد، ایران

۳- استادیار گروه آموزشی دندانپزشکی کودکان، دانشکده دندانپزشکی، دانشگاه علوم پزشکی اصفهان، اصفهان، ایران

۴- استادیار گروه آموزشی مهندسی مواد، دانشکده مهندسی مواد، دانشگاه آزاد اسلامی، واحد تهران، تهران، ایران

۵- دستیار تخصصی گروه آموزشی ارتوداناتیکس، دانشکده دندانپزشکی، دانشگاه آزاد اسلامی، واحد اصفهان (خواراسگان)، اصفهان، ایران

اطلاعات مقاله

چکیده

زمینه و هدف: افزودن نانو ذرات به رزین کامپوزیت‌های دندانی سبب کاهش چسبندگی باکتری‌ها و پوسیدگی ثانویه می‌شود. ترموسايكلینگ می‌تواند شرایط آزمایش را به محيط دهان نزدیک کند. هدف از انجام این مطالعه تعیین اثر ترموسايكلینگ بر میزان ریزنشت مخلوط نانو ذره اکسید مس و کامپوزیت فلو بود.

روش بررسی: در این مطالعه آزمایشگاهی ۸۸ دندان پرمول بر حسب کاربرد نانو ذره اکسید مس با غلظت‌های ۰/۰۱٪ و ۰/۰۳٪ وزنی و ترموسايكلینگ به تعداد ۰، ۱۰۰۰، ۵۰۰۰ و ۱۵۰۰۰ بار، به هشت گروه تقسیم شدند. شیارهای اکلولالی دندان‌ها به وسیله مخلوط کامپوزیت فلو و محتوای نانو ذره اکسید مس سیل و سپس دندان‌ها ترموسايكل شد. در ادامه دندان‌ها به مدت ۲۴ ساعت در متیلن بلوی ۰/۲٪ غوطه‌ور و سپس مورد برش قرار گرفتند. ریزنشت توسط استریومیکروسکوپ (hp/USA) بررسی شد. داده‌ها با آزمون‌های آماری کروسکال والیس و من ویتنی آنالیز و حد معنی داری ۰/۰۵ در نظر گرفته شد.

یافته‌ها: در گروه‌های محتوای نانو ذرات اکسید مس با غلظت ۰/۰۱٪، با افزایش تعداد دوره‌ای ترموسايكل، ریزنشت به میزان معنی داری افزایش یافت ($P=0/032$). اختلاف میزان ریزنشت بین گروه‌های در معرض ۰ و ۱۵۰۰۰ ترموسايكل معنی دار بود ($P=0/019$). در گروه‌های با غلظت ۰/۰۳٪، ترموسايكل بر ریزنشت اثر معنی داری نداشت ($P=0/780$). نمونه‌های در معرض ۰ و ۱۰۰۰ و ۵۰۰۰ و ۱۵۰۰۰ ترموسايكل در دو غلظت نانو ذره اکسید مس اختلاف معنی داری در ریزنشت نشان ندادند.

نتیجه‌گیری: در گروه‌های حاوی نانو ذرات اکسید مس با غلظت ۰/۰۱٪ میزان ریزنشت با افزایش تعداد ترموسايكلینگ به ۱۵۰۰۰ دور ترموسايكل نسبت به گروه کنترل افزایش یافت و در غلظت ۰/۰۳٪ ترموسايكلینگ تغییر معنی داری ایجاد نکرد.

نویسنده مسؤول:
دکتر پدرام دانش کاظمی

گروه آموزشی ارتوداناتیکس، دانشکده
دندانپزشکی، دانشگاه آزاد اسلامی، واحد
اصفهان (خواراسگان)، اصفهان، ایران

(Email: pedram_d_k@yahoo.com)

کلید واژه‌ها: ترموسايكلینگ، ریزنشت، نانو ذره اکسید مس، کامپوزیت رزین

مجله دندانپزشکی دانشگاه علوم پزشکی و خدمات بهداشتی، درمانی تهران
دوره ۳۳، شماره ۳، پاییز ۱۳۹۹، ۱۳۷-۱۲۶

مقدمه

لакتوباسیل اثر خود را اعمال می‌کنند (۱۷). نانو ذره اکسید مس از اکسید نقره ارزان‌تر است و به راحتی با پلیمرها مخلوط می‌شود (۱۸-۲۰) ویژگی‌های فیزیکی و شیمیابی نسبتاً پایداری دارد و نسبت به ذرات بزرگ‌تر قابل کنترل‌تر است (۲۱). این نانو ذرات پتانسیل سطحی پایین‌تری نسبت به سایر فلزات داشته (۹) و دارای خاصیت آنتی باکتریال بوده و اثر به سازی در جلوگیری از کلئونیزه شدن باکتری‌ها و همچنین ممانعت از پوسیدگی ثانویه دارد (۱۸،۲۲،۲۳). این دسته از نانو ذرات در ترکیب با رزین کامپوزیتها اثرات آنتی میکروبیال قابل توجهی از خود نشان می‌دهند و با افزایش غلظت این نانو ذرات اثر آنتی میکروبیال افزایش می‌یابد (۲۴). در مطالعه‌ای این دسته از نانو ذرات با غلظت‌های ۰/۰۰۱ تا ۱ میکروگرم بر میلی لیتر توانستند از رشد استرپتوکوک موتنانس جلوگیری نمایند اما از رشد بیوفیلم جلوگیری به عمل آورند (۲۵) و در غلظت‌های ۱۰۰ تا ۵۰۰۰ میکروگرم بر میلی لیتر سمیتی ندارند (۲۶).

ایده‌آل‌ترین روش برای ارزیابی مواد دندانی، اجرای مطالعات کارآزمایی بالینی می‌باشد که نیازمند صرف هزینه و زمان زیادی است، بنابراین میزان موفقیت کلینیکی مواد دندانی با شبیه سازی شرایط محیط دهان از جمله تغییرات دمایی و نیروهای جوشی، در محیط آزمایشگاه (*in-vitro*) انجام می‌شود (۲۷). در مطالعات آزمایشگاهی هدف شبیه سازی شرایط پرچالش دمایی محیط دهان در محیط آزمایشگاه با ترموسایکلینگ است تا اثرات aging بر روی مواد ترمیمی در محیط دهان را بازسازی شود. استفاده از ابزارهای شبیه سازی اعتبار بررسی ریزنشت را ارتقا می‌دهد (۲۸). مطالعات اندکی به بررسی حضور و یا عدم حضور ترموسایکلینگ بر روی مواد ترمیمی پرداخته‌اند (۲۹). در مطالعه حاضر از ترموسایکلینگ استفاده شد زیرا ریزنشت در زمانی روی می‌دهد که دندان‌ها به طور متناوب تحت تأثیر مواد غذایی و گرما قرار بگیرند. گفته می‌شود دندان‌ها تحت تأثیر مواد غذایی با درجه حرارت ۴-۹ سانتی‌گراد الی ۶۰-۵۲ سانتی‌گراد قرار گیرند (۳۰) که می‌تواند سبب ایجاد تغییر دمای دهان به میزان ۱/۲ سانتی‌گراد به مدت ۱۵-۲۵ دقیقه شود (۳۱).

Morales-Quiroga و همکاران (۳۲) در مطالعه‌ای

مطالعات نشان داده‌اند در دندان‌های تازه رویش یافته دائمی کودکان حدود ۹۰٪ از پوسیدگی‌ها در پیت و فیشورهای سطح اکلوزال ایجاد می‌شوند (۱). فیشور سیلانت یک روش مناسب جهت پیشگیری از بروز پوسیدگی و بهداشت دهان کودکان و نوجوانان به شمار می‌رود (۲). نانو ذرات چند سالی است که در دندانپزشکی کاربرد یافته‌اند. نانو ذراتی همچون نانو ذره مس، روی، نقره، هیدروکسی آپاتیت، کیتوزان و اکسیدهای نقره، مس، تیتانیوم و روی در تحقیقات به رزین کامپوزیتها افزوده و مورد بررسی قرار گرفته‌اند (۳-۸). نانو ذرات می‌توانند خصوصیات مکانیکی مواد دندانپزشکی از قبیل مقاومت به سایش و stiffness را افزایش (۸،۹) و سختی سطحی را ارتقاء دهند (۱۰). در برخی از مطالعات، این مواد از خاصیت چسبندگی باکتری‌ها بر روی سطوح کاسته و در نتیجه ایجاد پوسیدگی ثانویه در لبه‌های ترمیم را به حداقل می‌رسانند (۱۱،۱۲). همچنین نشان داده شده است که باکتری، ویروس و قارچ ظرف چند دقیقه پس از تماس با نانو ذرات فلزی از بین می‌رونده و این در حالی است که گونه‌های مقاوم میکروارگانیسم‌ها، در صورت افزودن نانو ذرات به محیط کشت به وجود نخواهد آمد (۱۳). ابعاد نانوی نانو ذرات فلزی یا اکسیدهای فلزی باعث می‌گردد سطح تماس بزرگی با باکتری‌ها ایجاد شود برای مثال با کاهش اندازه ذرات کروی از میکرو به نانومتر سطح تماس به میزان ۱۰^۹ برابر افزایش می‌یابد. به نظر می‌رسد سطح تماس وسیع باعث ظهور خواص ضد میکروبی می‌شود یا خواص ضد میکروبی را افزایش می‌دهد (۱۴). در حقیقت رابطه معکوسی میان سایز ذرات با اثرات ضد باکتریایی آن‌ها وجود دارد. نانو ذرات با اندازه ۱-۱۰ نانومتر بیشترین اثرات ضد میکروبی را دارند (۱۵). همچنین به علت انرژی آزاد سطحی زیاد، نانو ذرات تامیل بالایی به اتصال به یکدیگر و یا سایر مواد دارند (۱۶).

نانو ذرات مس که به صورت آمیختن (incorporated) با مواد دیگر استفاده می‌شوند (۱۱)، دارای خواص فیزیکی قابل توجهی هستند و در مقایسه با نانو ذرات نقره ماده آنتی باکتریال مسئولتری می‌باشند و بر روی باکتری‌های آکنیومایسز و

کامپوزیت فلو انجام شد و فرضیه مطالعه این بود که متوسط ریزنشت در گروه‌ها متفاوت است.

روش بررسی

این مطالعه به روش تجربی و به صورت آزمایشگاهی بوده و برای انجام مطالعه ابتدا مجوز کمیته اخلاق دپارتمان پژوهش دانشگاه علوم پزشکی شهید صدوقی یزد به شماره IR.SSU.REC.1397.170 اخذ شد.

تعداد ۱۰۱ دندان پرمولر ماقریلای انسانی که به منظور درمان ارتودنسی کشیده شده بودند به مدت ۳ ماه جمع آوری شدند و از بین آن‌ها ۸۸ دندان سالم و فقد پوسیدگی، ترک، شکستگی، ترمیم و نایاص تکاملی انتخاب شدند. حجم نمونه با در نظر گرفتن سطح معنی داری ۵٪ و توان آزمون ۹۰٪ و با توجه به برآورد مقدار انحراف معيار ریزنشت برابر ۱/۲ از مطالعه قبلی (۳۵) و مقادیر میانگین تقریبی در گروه‌ها و با استفاده از نرم افزار Gpower و منوی تعیین حجم نمونه برای تحلیل واریانس تعداد ۱۰ تکرار برآورد گردید که برای اطمینان بیشتر تعداد ۱۱ تکرار در نظر گرفته شد. نمونه‌ها پس از حذف نسوج اضافی و شستشو در آب مقطر و در دمای ۴ درجه سانتی گراد (۳۶) نگهداری شدند. دندان‌ها به منظور ضد عفونی شدن از ۲۴ ساعت قبل از آزمایش، در محلول کلرامین T٪ (Merck, Darmstadt, Germany) قرار گرفتند (۳۱) و در ادامه تا قبل از آزمایش در دمای اتاق و در آب مقطر نگهداری شدند (۳۷,۳۸). با استفاده از نرم افزار Random Allocation Version 1 (۳۹) و جدول اعداد تصادفی، دندان‌ها به ۸ گروه ۱۱ تایی تقسیم شدند و سطح آن‌ها آمده سازی و تمیز شد (۲۸). در مطالعه حاضر ارزین کامپوزیت نانوهیرید فلو با رنگ A2 و نانو ذرات اکسید مس استفاده شد، که مشخصات مواد مورد استفاده در جدول ۱ آمده است.

جدول ۱- مشخصات مواد مورد ارزیابی در مطالعه حاضر

| US Research Nanomaterials, Inc. | کارخانه سازنده | مشخصات پودر نانو ذره اکسید مس | مشخصات کامپوزیت فلو Z350 |
|---------------------------------|-------------------|-------------------------------|--------------------------|
| % | خلوص | | |
| قهقهه‌ای مایل به سیاه | رنگ | | |
| ۴۰ نانومتر | متوسط اندازه ذرات | | |
| تقرباً کروی | مرفوبلوژی ذرات | | |
| ۶/۴ گرم بر متر مکعب | دانسیته | | |
| 3M/USA | کارخانه سازنده | | |
| BisGMA/TEGDMA/Procrylat Resins | ماتریکس | | |
| Silica/Zirconia/Ytterbium | نوع فیلر | | |
| ۴۶% | درصد حجمی فیلر | | |
| % | درصد وزنی فیلر | | |

سپس دندان‌ها شسته و خشک شده و ناحیه شیارهای سطح اکلوزال طبق دستور کارخانه سازنده توسط اسید فسفریک ۳۴٪ (Scotchbond Universal Etchant/3M-USA) و با pH حدود ۱/۰ اج شدند. پس از شستشو، رطوبت اضافه گرفته شد و از باندینگ2 SingleBond2 (3M/USA) طبق دستور کارخانه سازنده بر روی سطوح دندانی اعمال و کیورینگ انجام شد. برای کیور رزین کامپوزیت‌ها در تمام گروه‌ها از دستگاه لایت کیور LED (Kerr/USA) با شدت نور ۹۰۰ میلی‌وات بر سانتی‌متر مربع استفاده شد. برای تأیید شدت نور قبل از هر بار کیورینگ، شدت نور به وسیله دستگاه لایت متر Demetron (Kerr/USA) اندازه گیری شد. تمام نمونه‌ها به وسیله دیسک پرداخت خورشیدی SoflexDiamondSpiral (3M/USA) و به ترتیب خشونت و به مدت یکسان پالیش شدند تا خشونت سطحی تمام نمونه‌ها یکسان شود.

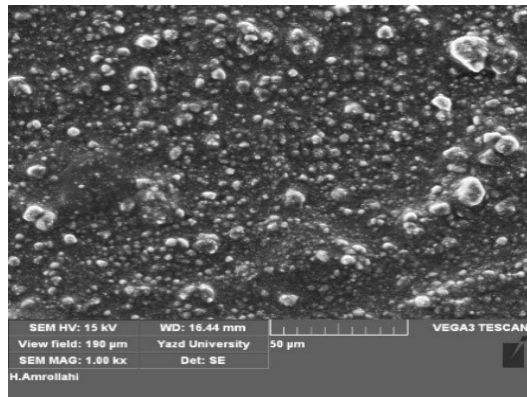
کامپوزیت فلوی مورد استفاده جهت فیشور سیلانت، در اختلاط با نانو ذرات اکسید مس در گروه‌های ۱ تا ۴ با غلظت ۱٪ و در گروه‌های ۵ تا ۸ با غلظت ۳٪ بود. روش کار در هر یک از گروه‌ها بر اساس استفاده یا عدم استفاده از ترموسایکلینگ به شرح زیر بود:

گروه ۱: فیشور سیلانت بدون ترموسایکلینگ. گروه ۲: فیشور سیلانت و ۱۰۰۰ بار ترموسایکلینگ، گروه ۳: فیشور سیلانت و ۵۰۰۰ بار ترموسایکلینگ، گروه ۴: فیشور سیلانت و ۱۵۰۰۰ بار ترموسایکلینگ.

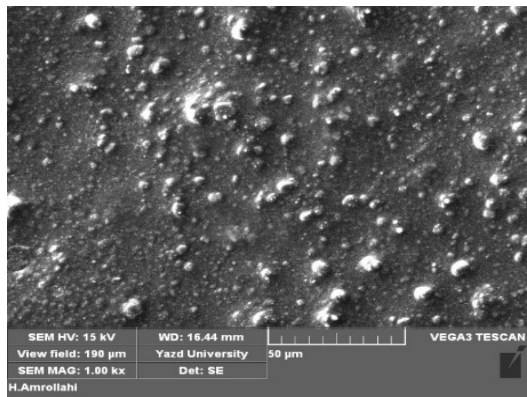
گروه ۵: فیشور سیلانت بدون ترموسایکلینگ، گروه ۶: فیشور سیلانت و ۱۰۰۰ بار ترموسایکلینگ، گروه ۷: فیشور سیلانت و ۵۰۰۰ بار ترموسایکلینگ، گروه ۸: فیشور سیلانت و ۱۵۰۰۰ بار ترموسایکلینگ. لازم به ذکر است که ترموسایکلینگ (وفایی، ایران) با دمای ۵ و ۵۵ درجه سانتی گراد و مدت ماندگاری ۶۰ ثانیه در هر دما (۲۱) و زمان بینابینی ۳۰ ثانیه (۲۸) انجام شد.

دندان‌ها پس از سیل آپکس و ۵/۰ میلی‌متر بیرونی تراز مارجین ترمیم، به مدت ۲۴ ساعت و در دمای اتاق در محلول متیلن بلوی (Merck/Germany) (۲۱،۲۹،۳۰٪) غوطه ور

به منظور اختلاط نانو ذرات اکسید مس با غلظت وزنی ۱٪، ۰/۰٪ به کامپوزیت فلو، ابتدا نانو ذرات اکسید مس به وسیله یک ترازوی دیجیتال Sartourius/Germany با دقت چهار رقم اعشار، ۰/۰۱۰ میلی گرم و ۰/۰۳۰ میلی گرم نانو ذرات اکسید مس (US Research Nanomaterials, Inc.) با اندازه ذرات ۴۰ نانومتر و کروی شکل دوظرفیتی و فرمول Z350 (CuO,Cu²⁺) (۳۹) اندازه گیری و با کامپوزیت فلوی (3M/USA) با رنگ A2 مخلوط شد. سپس در هر دو غلظت به منظور ایجاد هموژنیسیتی، با استفاده از دستگاه Shaker Vortex (Wiggenhauser/Malaysia) ۱۵ دقیقه در محیط کاملاً تاریک shake (۲۴) و با استفاده از میکروسکوپ الکترونی SEM هموژنیسیتی اش تأیید شد (اشکال ۱ و ۲).

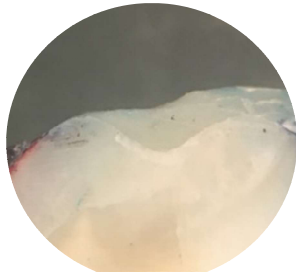


شکل ۱- مخلوط کامپوزیت فلو و نانو ذره اکسید مس در SEM با غلظت ۳٪ درصد با بزرگنمایی ۱۰۰۰



شکل ۲- مخلوط کامپوزیت فلو و نانو ذره اکسید مس در SEM با غلظت ۱٪ درصد با بزرگنمایی ۱۰۰۰

تصاویر استریومیکروسکوپ در درجات مختلف ریزنشت با بزرگنمایی
۲۰ برابر



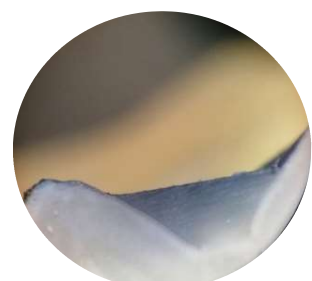
شکل ۳- ریزنشت درجه صفر



شکل ۴- ریزنشت درجه ۱



شکل ۵- ریزنشت درجه ۲



شکل ۶- ریزنشت درجه ۳

گشتند. سپس با استفاده از تیغه ای به ضخامت 0.3 میلی متر و توسط دستگاه برش (نوفناوران پارس / ایران، مشهد) در جهت باکولینگوالی برش داده شدند و به دو نیمه مزیالی و دیستالی تبدیل شدند. هر دو نیمه مزیالی و دیستالی جهت بررسی ریزنشت مورد بررسی قرار گرفته و بیشترین میزان نفوذ رنگ در دیواره مزیال و دیستال هر دندان به عنوان نمره ریزنشت آن دندان در نظر گرفته شد (۲۱). ریزنشت در زیر استریومیکروسکوپ (Olympus/Japan) به صورت کیفی و با بزرگنمایی ۲۰ مورد بررسی قرار گرفت. عمق نفوذ رنگ بر اساس سیستم درجه بنده Koyuturk و همکاران (۲۷) و Morales-Quiroga و همکاران (۳۲) و به این صورت بود که بدون نفوذ رنگ: صفر، نفوذ رنگ به میزان یک سوم اکلوزالی سطح مشترک سیلانت-مینا: ۱، نفوذ رنگ به میزان یک سوم میانی سطح مشترک سیلانت-مینا: ۲، نفوذ رنگ به میزان یک سوم اپیکالی سطح مشترک سیلانت-مینا: ۳ (اشکال ۳-۶).

بررسی عمق نفوذ رنگ توسط دو نفر انجام شد و در مواردی که اختلاف نظر وجود داشت، توافق بین دو فرد انجام گرفت (۴۰). داده‌ها با استفاده از نرم افزار آماری SPSS18 آزمون‌های آماری کروسکالوالیس و من ویتنی تست آنالیز شدند و حد معنی داری 0.05 در نظر گرفته شد.

یافته‌ها

در پژوهش حاضر به منظور بررسی و مقایسه میزان ریزنشت در گروههای ۱ تا ۴ و نیز ۵ تا ۸ از آزمون کروسکالوالیس استفاده شد. به منظور بررسی و مقایسه میزان ریزنشت در گروههای ترموسایکل شده به میزان برابر و با غلظت متفاوت، از آزمون من ویتنی استفاده شد.

درصد فراوانی و تعداد نمره‌های ریزنشت در گروههای نانوذرات اکسیدمیس با غلظت 1% و 0.3% وزنی در جدول ۲ آمده است. یافته‌های نشان داد در گروههای ۱ تا ۴ با غلظت 1% وزنی نانوذرات اکسید میس با افزایش تعداد دوره‌ای ترموسایکل، ریزنشت به طور معنی داری افزایش یافت ($P=0.032$).

جدول ۲- تعداد و درصد فراوانی نمره‌های ریز نشت در گروه‌های ۸ گانه

| کامپوزیت فلو و نانو ذرات ۱٪ و بر اساس ترموسایکلینگ | | | | کامپوزیت فلو و نانو ذرات ۰٪ و بر اساس ترموسایکلینگ | | | | گروه درجه ریزنشست | |
|---|-------|-------|-------|---|-------|-------|-------|----------------------|--|
| دندان | بدون | دندان | بدون | تعداد | درصد | تعداد | درصد | صفر | |
| ۱۵۰۰۰ | ۵۰۰۰ | ۱۰۰۰ | بدون | ۱۵۰۰۰ | ۵۰۰۰ | ۱۰۰۰ | بدون | دندان | |
| ۵ | ۴ | ۳ | ۵ | ۱ | ۲ | ۲ | ۶ | تعداد | |
| ۴۵٪/۵ | ۳۶٪/۴ | ۲۷٪/۳ | ۴۵٪/۵ | ۹٪/۱ | ۱۸٪/۲ | ۱۸٪/۲ | ۵۴٪/۵ | درصد | |
| ۳ | ۴ | ۳ | ۴ | ۱ | ۵ | ۵ | ۳ | تعداد | |
| ۲۷٪/۳ | ۳۶٪/۴ | ۲۷٪/۳ | ۳۶٪/۴ | ۹٪/۱ | ۴۵٪/۵ | ۴۵٪/۵ | ۲۷٪/۳ | درصد | |
| ۱ | ۱ | ۵ | ۱ | ۷ | ۲ | ۴ | ۱ | تعداد | |
| ۹٪/۱ | ۹٪/۱ | ۴۵٪/۵ | ۹٪/۱ | ۶۳٪/۶ | ۱۸٪/۲ | ۳۶٪/۴ | ٪ ۹/۱ | درصد | |
| ۲ | ۲ | • | ۱ | ۲ | ۲ | • | ۱ | تعداد | |
| ۱۸٪/۲ | ۱۸٪/۲ | ٪ ۰ | ۹٪/۱ | ۱۸٪/۲ | ۱۸٪/۲ | ٪ ۰ | ۹٪/۱ | درصد | |
| ۱۱ | ۱۱ | ۱۱ | ۱۱ | ۱۱ | ۱۱ | ۱۱ | ۱۱ | تعداد | |
| ۱۰۰٪ | ۱۰۰٪ | ۱۰۰٪ | ۱۰۰٪ | ۱۰۰٪ | ۱۰۰٪ | ۱۰۰٪ | ۱۰۰٪ | درصد | |
| کل | | | | کل | | | | | |

ریزنشست دیده نشد که با مطالعه Wahab و همکاران (۴۱) و Zanjani و همکاران (۲۹) همسو بود. در مطالعه اول با هدف بررسی اثر ترموسایکلینگ بر میزان ریزنشست ریزن شد که ترموسایکلینگ اثر معنی‌داری بر کامپوزیت‌های متداول بود که ترموسایکلینگ اثر معنی‌داری بر افزایش میزان ریزنشست ریزن کامپوزیت‌ها، صرف نظر از نوع ریزن کامپوزیت مورد استفاده داشت. و مطالعه دوم با هدف بررسی اثر ترموسایکلینگ و نوع مواد ترمیمی بر میزان ریزنشست ترمیم‌های کلاس ۲ بود که یافته‌ها نشان داد که در گروه ترمیم شده با کامپور در مارجین سروپکال، میزان ریزنشست بالاتر از سایر گروه‌ها به ویژه بعد از ترموسایکلینگ بود (۲۹، ۴۱).

مطالعه کنونی نشان داد که در گروه‌های دارای نانو ذره اکسید مس با غلظت ۰٪/۳ وزنی، با افزایش تعداد دوره‌ای ترموسایکلینگ (حتی تا اندازه ۱۵۰۰۰ سیکل) تغییر معنی‌داری در میزان ریزنشست دیده نشد. این یافته از مطالعه حاضر همسو با مطالعه Atash و همکاران (۴۲) است که با هدف بررسی اثر ترموسایکلینگ بر میزان ریزنشست سیستم‌های ادھربو جدید بر روی دندان‌های شیری انجام شده بود که نشان داد اختلاف معنی‌داری در میزان ریزنشست در بین سیستم‌های ادھربو مختلف و بین زیر گروه‌های صفر و ۲۵۰۰ سیکل ترموسایکلینگ، وجود نداشت. ممکن است علت یافته ذکر شده در رابطه با غلظت ۰٪/۳، این مسئله باشد که با افزایش درصد نانو ذره اکسید مس تراکم ساختاری افزایش یافته و میزان تخلخل با ساختاری متعاقباً کاهش یافته باشد (۴۱).

در گروه‌های ۵ تا ۸ با غلظت ۰٪/۳ درصد نانو ذره اکسید مس با افزایش تعداد دور ترموسایکل، اختلاف معنی‌داری در میزان ریزنشست دیده نشد ($P=0.78$).

همچنین مقایسه درصد فراوانی و تعداد نمره‌های ریزنشست در گروه‌های ۵ و ۱ که ترموسایکل در مورد آن‌ها انجام نشده بود نشان داد که تعداد دندان‌های دارای ریزنشست صفر در این دو گروه از سایر گروه‌ها بیشتر بود. در مقایسه دو به دو در گروه‌های با غلظت ۱٪ و ۰٪ نانو ذرات اکسید مس، تنها بین دو گروه ۱ و ۴ اختلاف معنی‌دار دیده شد ($P=0.19$). مقایسه دو به دوی گروه‌های ۱٪ و ۰٪ پس از معنی‌دار شدن آزمون کروسکال والیس تفاوت معنی‌داری را بین سایر گروه‌ها نشان نداد (جدول ۳).

بحث و نتیجه‌گیری

این مطالعه با هدف بررسی اثر ترموسایکلینگ بر میزان ریزنشست مخلوط نانو ذره اکسید مس و کامپوزیت فلو به صورت فیشور سیلانت، در دو غلظت مختلف انجام گرفت. نتایج مطالعه نشان داد که افزایش تعداد دور ترموسایکل به ۱۵۰۰۰ دور، در گروه‌های فیشور سیلانت شده همراه با کامپوزیت فلوی دارای غلظت ۰٪ درصد نانو ذره اکسید مس، به طور معنی‌داری باعث افزایش میزان ریزنشست نسبت به گروه کنترل شد، که فرضیه مطالعه را تأیید کرد. اما در بین گروه‌های دیگر با ترموسایکل به میزان متفاوت و با همین غلظت، اختلاف معنی‌داری در میزان

جدول ۳- مقایسه دوی ریزنشت در گروه‌ها در غلظت ۱/۰٪ و ۰/۳٪ وزنی نانواسید مس

| P-value | خطای معیار | تفاوت میانگین‌ها | گروه (J) | گروه (I) |
|---------|------------|------------------|----------|----------|
| ۱ | ۰/۴۰۹ | -۰/۴۵۵ | ۲ | |
| ۰/۷۷۹ | ۰/۴۰۹ | -۰/۶۳۶ | ۳ | |
| *۰/۰۱۹ | ۰/۴۰۹ | -۱/۱۸۲ | ۴ | |
| ۰/۷۹۷ | ۰/۴۰۹ | -۰/۰۹۱ | ۵ | ۱ |
| - | ۰/۴۰۹ | -۰/۴۵۵ | ۶ | |
| - | ۰/۴۰۹ | -۰/۳۶۴ | ۷ | |
| - | ۰/۴۰۹ | -۱/۲۷۳ | ۸ | |
| ۱ | ۰/۴۰۹ | -۰/۱۸۲ | ۳ | |
| ۰/۴۷۳ | ۰/۴۰۹ | -۰/۷۲۷ | ۴ | |
| - | ۰/۴۰۹ | ۰/۳۶۴ | ۵ | |
| ۰/۹۴۹ | ۰/۴۰۹ | ۰/۰۰۰ | ۶ | |
| ۰/۵۱۹ | ۰/۴۰۹ | ۰/۰۹۱ | ۷ | |
| - | ۰/۴۰۹ | -۰/۸۱۸ | ۸ | |
| ۰/۹۱۹ | ۰/۴۰۹ | -۰/۵۴۵ | ۴ | |
| - | ۰/۴۰۹ | ۰/۵۴۵ | ۵ | |
| - | ۰/۴۰۹ | ۰/۱۸۲ | ۶ | ۲ |
| ۰/۵۱۹ | ۰/۴۰۹ | ۰/۲۷۳ | ۷ | |
| - | ۰/۴۰۹ | -۰/۶۳۶ | ۸ | |
| - | ۰/۴۰۹ | ۱/۰۹۱ | ۵ | |
| - | ۰/۴۰۹ | ۰/۷۲۷ | ۶ | ۴ |
| - | ۰/۴۰۹ | ۰/۸۱۸ | ۷ | |
| ۰/۰۶۵ | ۰/۴۰۹ | -۰/۰۹۱ | ۸ | |
| ۰/۷۹۷ | ۰/۴۰۹ | -۰/۳۶۴ | ۶ | |
| - | ۰/۴۰۹ | -۰/۲۷۳ | ۷ | ۵ |
| - | ۰/۴۰۹ | -۱/۱۸۲ | ۸ | |
| - | ۰/۴۰۹ | ۰/۰۹۱ | ۷ | |
| - | ۰/۴۰۹ | -۰/۸۱۸ | ۸ | ۶ |
| ۱ | ۰/۴۰۹ | -۰/۹۰۹ | ۸ | ۷ |

مارجین سرویکال، میزان ریزنشت بالاتر از سایر گروه‌ها به ویژه بعد از ترموسایکلینگ بود (۲۹,۴۱).

مطالعه کنونی نشان داد که در گروه‌های دارای نانو ذره اکسید مس با غلظت ۰/۳٪ وزنی، با افزایش تعداد دورهای ترموسایکلینگ (حتی تا اندازه ۱۵۰۰۰ سیکل) تغییر معنی‌داری در میزان ریزنشت دیده نشد. این یافته از مطالعه حاضر همسو با مطالعه Atash و همکاران (۴۲) است که با هدف بررسی اثر ترموسایکلینگ بر میزان ریزنشت رزین کامپوزیت‌های متداول در که ترموسایکلینگ اثر معنی‌داری بر افزایش میزان ریزنشت رزین کامپوزیت‌ها، صرف نظر از نوع رزین کامپوزیت مورد استفاده داشت. و مطالعه دوم با هدف بررسی اثر ترموسایکلینگ و نوع مواد ترمیمی بر میزان ریزنشت ترمیم‌های کلاس ۲ بود که یافته‌ها نشان داد که در گروه ترمیم شده با کامپومر در

اما در بین گروه‌های دیگر با ترموسایکل به میزان متفاوت و با همین غلظت، اختلاف معنی‌داری در میزان ریزنشت دیده نشد که با مطالعه Wahab و همکاران (۴۱) و Zanjani و همکاران (۲۹) همسو بود. در مطالعه اول با هدف بررسی اثر ترموسایکلینگ بر میزان ریزنشت رزین کامپوزیت‌های متداول بود که ترموسایکلینگ اثر معنی‌داری بر افزایش میزان ریزنشت رزین کامپوزیت‌ها، صرف نظر از نوع رزین کامپوزیت مورد استفاده داشت. و مطالعه دوم با هدف بررسی اثر ترموسایکلینگ و نوع مواد ترمیمی بر میزان ریزنشت ترمیم‌های کلاس ۲ بود که یافته‌ها نشان داد که در گروه ترمیم شده با کامپومر در

نیز می‌توانند عوامل اختلاف نتایج در این مطالعات باشد. همچنین این یافته از مطالعه حاضر غیرهمسو با مطالعه Haghgoo و همکاران (۴۲)، درباره بررسی اثر افزودن مقادیر مختلف نانو ذرات هیدروکسی آپاتیت بر خواص مکانیکی فیشور سیلانت و رمینرالیزاسیون مینایی دندان دائمی، می‌باشد. نتایج مطالعه ایشان حاکی از آن بود که فیشور سیلانت حاوی نانو ذرات هیدروکسی آپاتیت می‌تواند با تأثیر بر ایجاد رمینرالیزاسیون در سطح مینای دندان باعث کاهش ریزنشت و جلوگیری از پوسیدگی ثانویه شود. اما اثراحتمالی افزایش تعداد دورهای ترموسایکلینگ بر میزان ریزنشت در نظر گرفته نشده بود. همچنین نوع نانو ذره به کار رفته در مطالعه Haghgoo و همکاران (۴۳) با مطالعه کنونی متفاوت بود. در مطالعه حاضر افزایش غلظت نانو ذره اکسید مس، مانع از افزایش ریزنشت تحت تأثیر افزایش تعداد دورهای ترموسایکلینگ شد.

عدم وجود اختلاف معنی‌دار در زیرگروههای ترموسایکل شده به میزان یکسان و با غلظت متفاوت نانو ذرات مس در مطالعه حاضر، همسو با مطالعه Morales-Quiroga و همکاران (۳۲) بود که مطالعه‌ای با هدف بررسی آزمایشگاهی میزان ریزنشت و درزگیری لبه‌ای (marginal seal) یک سیلانت (conventional) ترکیب شده با نانو ذرات نقره در دندان‌های مولر شیری انجام دادند. گروه‌های کترل و گروه ترمیم شده با سیلانت حاوی نانو ذرات نقره، به میزان ۵۰۰ سیکل ترموسایکل شدند. نتایج نشان داد که اختلاف معنی‌داری در میزان ریزنشت بین گروه کترل نسبت به گروه حاوی نانو ذرات نقره وجود نداشت. در مطالعه Morales-Quiroga و همکاران (۳۲) از ۵۰۰ بار ترموسایکل استفاده شد، اما در مطالعه حاضر تعداد دورهای صفر، ۱۰۰۰، ۵۰۰۰ و ۱۵۰۰۰ سیکل حرارتی استفاده گردید.

تعداد دورهای ترموسایکل به کار رفته در مطالعه کنونی، ۱۰۰۰، ۵۰۰۰ و ۱۵۰۰۰ سیکل بود که همسو با مطالعه Gönülol و همکاران (۲۸) بود که با عنوان اثر ترموسایکلینگ بر میزان ریزنشت کامپوزیت رزین‌های قابل سیلان متداول انجام گرفت که نشان داد کامپوزیت‌های فلوی جدید خود باند

و بین زیرگروه‌های صفر و ۲۵۰۰ سیکل ترموسایکلینگ، وجود نداشت. ممکن است علت یافته ذکر شده در رابطه با غلظت $\frac{۱}{۳}$ %، این مسئله باشد که با افزایش درصد نانو ذره اکسید مس تراکم ساختاری افزایش یافته و میزان تخلخل یا Porosity ساختاری متعاقباً کاهش یافته باشد (۴۱). از آنجایی که انسجام فاز تقویت کننده در ماتریکس رزینی هیچگاه پیوسته نبوده و جدا شدگی ذرات تقویت کننده وجود دارد، بنابراین با افزایش غلظت نانو ذرات اکسید مس میزان ریزنشت تحت تأثیر افزایش تعداد دورهای ترموسایکل اختلاف معنی‌داری نشان نداد.

مقایسه دو به دو در زیرگروه‌های ترموسایکل شده به میزان یکسان اما با غلظت‌های متفاوت $\frac{۱}{۰} / \frac{۳}{۰}$ درصد نانو ذره اکسید مس، نشان داد که میزان ریزنشت حتی در ۱۵۰۰۰ سیکل اختلاف معنی‌داری نشان نداد. این یافته از مطالعه حاضر با مطالعه‌ای که توسط Teymoornezhad و همکاران (۳۳) به منظور بررسی میزان ریزنشت و استحکام باند ریزکشی کامپوزیت فلو حاوی نانو ذرات اکسید روی انجام دادند، غیر همسو می‌باشد. نتایج مطالعه Teymoornezhad و همکاران (۳۳) نشان داد که در گروه ترمیم شده با کامپوزیت Z350 با افزایش غلظت نانو ذرات، میزان ریزنشت به طور معنی‌داری کاهش یافت ولی در مطالعه ایشان از نانو ذرات اکسید روی با درصد وزنی $\frac{۱}{۰} / \frac{۳}{۰}$ درصد استفاده شده بود. بنابراین تفاوت در نوع نانو ذره و همچنین غلظت آن ممکن است بر روی یافته‌ها اثر گذاشته باشد. از طرفی تعداد دور ترموسایکلینگ به کار رفته در مطالعه حاضر صفر، ۱۰۰۰، ۵۰۰۰ و ۱۵۰۰۰ بود، اما در مطالعه Teymoornezhad و همکاران (۳۳) ۱۵۰۰ سیکل بود که تعداد دور بالاتر در مطالعه حاضرشارایط را در استفاده طولانی مدت تر مواد به محیط دهان نزدیکتر کرد. همچنین نوع رنگ مورد استفاده در مطالعه Teymootnezhad و همکاران (۳۳) فوشین ۵ درصد با مدت زمان غوطه‌وری ۲۴ ساعت و روش مورد استفاده در عمق نفوذ رنگ بر اساس سیستم درجه بندی Koyuturk و همکاران (۲۷) و همکاران (۳۲) بود. نوع دندان‌های Morales-Quiroga و همکاران (۳۲) بود. مورد استفاده و شرایط نگهداری دندان‌ها قبل از شروع آزمایش

به بررسی اثر سمیت سلولی و ژنی ذرات نانو و میکرو اکسید مس پرداختند. آن‌ها این ذرات را روی سلول‌های Hella انسانی آزمایش کردند و به این نتیجه رسیدند که این ماده تا غلظت ۵۰ میکرو گرم بر میلی لیتر، هیچ ضرری برای سلول‌های انسانی ندارد. به منظور پکنواخت شدن مخلوط نانو ذره اکسید مس و کامپوزیت فلو در مطالعه حاضر، از دستگاه Shaker استفاده شد که همسو با مطالعه Toodehzaeim و Vortex همکاران (۲۴) بود. ضمناً هموژن بودن مخلوط ایجاد شده در مطالعه حاضر توسط میکروسکوپ الکترونی بررسی شد که تا از پخش یکسان ذرات در کامپوزیت فلو اطمینان حاصل شود که در مطالعات مشابه بررسی نشده است.

روش‌های مختلفی برای بررسی ریزنشت در مطالعات invitro وجود دارد و رایج‌ترین آن‌ها روش نفوذ رنگ می‌باشد (۴۶). در مطالعه حاضر از محلول متیلن بلو با غلظت ۲٪ و مدت ۲۴ ساعت استفاده شد که همسو با مطالعه Zhao و غوطه‌وری Xie (۹) و Shahabi و همکاران (۳۸) بود. لازم به ذکر است که در مطالعات با استفاده از رنگ از غلظت‌های ۱۰-۵٪ درصد و مدت زمان غوطه‌وری ۷۲-۴ ساعت استفاده می‌شود (۴۷،۴۸) البته باید در نظر داشته باشیم که بین وسعت ریزنشت به دست آمده در مطالعات آزمایشگاهی و وضعیت ماده در کلینیک ارتباط صد درصدی وجود ندارد و لیکن در صورتی که ماده در مطالعات آزمایشگاهی ریزنشت کمی داشته باشد، احتمالاً موققیت آن بالاتر خواهد بود. موضوع مهم درباره استفاده از رنگ‌ها در تعیین ریزنشت این است که رنگ‌های مانند فوшин که با ساختمان دندان یا مواد ترمیمی باند می‌شوند (۴۷،۴۸). بیش از آنچه فاصله وجود دارد در حد فاصل ترمیم و دندان نفوذ می‌کنند. ضمناً در مطالعات نفوذ رنگ چون نمونه جهت تفسیر کارتخیریب می‌شود، ارزیابی کمی به طور کامل امکان پذیر نیست (۴۸).

در مطالعه حاضر، درجه بندی ریزنشت به صورت کیفی رتبه‌ای انجام شد که با مطالعات Morales-Quiroga و Koyuturk و همکاران (۳۲) و Al-Homaidhi و Al-Dlaigan (۲۱) همسو بود.

شونده (self-adhering) زمانی که تحت شوک حرارتی طولانی مدت قرار بگیرند شبیه به کامپوزیت‌های فلوی قدیمی هستند. در مطالعه حاضر از نانو ذرات اکسید مس به ابعاد ۴۰ نانومتر و غلظت ۱٪ درصد و ۳٪ درصد وزنی استفاده شد. درصد نانو ذره اکسید مس به کار رفته، با توجه به مطالعه صورت گرفته در زمینه حداقل غلظت آنتی میکروبیال نانو ذره اکسید مس در عین عدم ایجاد تغییر رنگ کلینیکی بود (۲۲،۲۳). همچنین درصد وزنی نانو ذرات در مطالعه حاضر و نیز محاسبات مربوط به وزن نانو ذره برای هر یک از درصدهای وزنی مشابه مطالعه Eshed و همکاران (۲۵) بود.

با توجه به اینکه هدف مطالعه کنونی تعیین اثر ترموسایکلینگ بر میزان ریزنشت مخلوط نانو ذره اکسید مس و کامپوزیت فلو در دو غلظت متفاوت ۱٪ و ۳٪ درصد بود لذا گروه کنترل شامل گروه‌های بدون اعمال ترموسایکلینگ (گروه‌های ۱ و ۵) بود. از طرف دیگر مقایسه‌های مربوط به ریزنشت انجام گرفته نشان داده که میزان ریزنشت بین گروه‌های دارای غلظت صفر نانو ذره و غلظت‌های ۱٪ و ۳٪ درصد نانو ذره اختلاف معنی دارند. به همین دلیل در مطالعه حاضر گروه دارای غلظت صفر نانو ذرات در نظر گرفته نشد. در مطالعه حاضر براساس اطلاعات کارخانه سازنده (US Research Nanomaterials, Inc.) سایز نانو ذرات به کار رفته ۴۰ نانومتر بود (۴۴)، که از نظر نوع نانو ذرات همسو با مطالعه Toodehzaeim و همکاران (۲۴) بود. همچنین انتخاب اندازه نانو ذرات به کار رفته در مطالعه حاضر با توجه به مطالعه Allaker (۲۶) بود که درباره استفاده از ذرات نانو در کنترل تشکیل بیوفیلم‌های دهانی انجام گرفت و به این نتیجه رسیدند که استفاده از نانو ذرات مس و اکسید آن اثر زیادی بر روی کنترل جمعیت‌های باکتریایی دارد. آن‌ها نانو ذرات اکسید مس در اندازه‌های ۲۰ تا ۹۰ نانومتر را روی جمعیت اشرشیاکلی MRSA بررسی کردند و به این نتیجه رسیدند که این ذرات در غلظت‌های ۱۰۰ تا ۵۰۰ میکرو گرم بر میلی لیتر سمتی ندارند. عدم سمیت سلولی در غلظت مواد بکار گرفته شده بر اساس مطالعه صورت گرفته توسط Semisch و همکاران (۴۵) بود که

افزایش غلظت نانو ذرات اکسید مس به $0.0/3$ درصد باعث تعییری در میزان ریزنشت، حتی تا تعداد 15000 بار ترموسایکلینگ نشد. در گروههای با غلظت متفاوت $0/1$ درصد و $0/3$ درصد نانو ذرات و ترموسایکل شده به میزان یکسان، تفاوتی در میزان ریزنشت مشاهده نشد.

تشکر و قدردانی

این مقاله ناشی از پایان نامه دکترای دندانپزشکی عمومی مصوب در دانشکده دندانپزشکی یزد و به شماره ۹۷۶ می باشد و بدین وسیله از حوزه معاونت پژوهشی داشگاه علوم پزشکی یزد بابت اختصاص بودجه به آن تشکر می شود.

از محدودیت‌های این مطالعه، عدم وجود گروه یا غلظت صفر نانو ذره، عدم بررسی اثر load cycling و عدم بررسی اثر هم زمان ترموسایکلینگ و cycling load بر میزان ریزنشت، عدم بررسی تعییرات شیمیایی ناشی از مواد غذایی بر مخلوط کامپوزیت فلو و نانو ذره، عدم بررسی اثر افزودن نانو ذره اکسید مس بر رنگ کامپوزیت رزین و عدم بررسی خشونت سطحی پس از افزودن نانو ذرات اکسید مس بود. با توجه به محدودیت‌های این مطالعه آزمایشگاهی می‌توان موارد زیر را نتیجه‌گیری نمود: در گروههای دارای نانو ذره اکسید مس با غلظت $0/1$ درصد، میزان ریزنشت با افزایش تعداد ترموسایکلینگ به 15000 نسبت به گروه کنترل افزایش یافت.

منابع:

- 1- Christensen JR, Mabry TR, Townsend JA, Wells MH. Pediatric dentistry infancy through adolescence. 6th ed. Elsevier; 2018. Chap 22.
- 2- Ramamurthy P, Rath A, Sidhu P, Fernandes B, Nettem S, Muttalib K, et al. Sealants for preventing dental caries in primary teeth. Cochrane Database Syst Rev. 2018;2018(3):CD012981.
- 3- Poosti M, Ramazanzadeh B, Zebarjad M, Javadzadeh P, Naderinasab M, Shakeri MT. Shear bond strength and antibacterial effects of orthodontic composite containing TiO₂ nanoparticles. Eur J Orthod. 2013;35(5):676-9.
- 4- TavassoliHojati S, Alaghemand H, Hamze F, AhmadianBabaki F, Rajab-Nia R, Rezvani MB, et al. Antibacterial, physical and mechanical properties of flowable resin composites containing zinc oxide nanoparticles. Dent Mater. 2013;29(5):495-505.
- 5- Kasraei S, Sami L, Hendi S, Alikhani MY, Rezaei-Soufi L, Khamverdi Z. Antibacterial properties of composite resins incorporating silver and zinc oxide nanoparticles on Streptococcus mutans and Lactobacillus. Restor Dent Endod. 2014;39(2):109-14.
- 6- Kim JS, Shin DH. Inhibitory effect on Streptococcus mutans and mechanical properties of the chitosan containing composite resin. Restor Dent Endod. 2013;38(1):36-42.
- 7- Ramazanzadeh B, Jahanbin A, Yaghoubi M, Shahtahmassbi N, Ghazvini K, Shakeri M, et al. Comparison of Antibacterial Effects of ZnO and Cu ONanoparticles Coated Brackets against Streptococcus Mutans. J Dent Shiraz Univ Med Sci. 2015;16(3):200-5.
- 8- Hidalgo-Manrique P, Lei X, Xu R, Zhou M, Kinloch IA, Young RJ. Copper/graphene composites: a review. J Mater Sci. 2019;54:12236-89.
- 9- Zhao J, Xie D. Effect of Nanoparticles on Wear Resistance and Surface Hardness of a Dental Glass-ionomer Cement. J Compos Mater. 2009;43(23):2739-52.
- 10- Mohammad Aliha MR, Mousavi A, Khansari Nabi M, Safarabadi M. Effects of alumina and hydroxyapatite nanoparticles on fracture toughness of PMMA based dental composite. J Sci Techno Compos. 2015;2(2):9-15.
- 11- Li Z, Lee D, Sheng X, Cohen RE, Rubner MF. Two-Level Antibacterial Coating with Both Release-Killing and Contact-Killing Capabilities. Langmuir. 2006;22(24):9820-3.
- 12- Monteiro DR, Gorup LF, Takamiya AS, Ruvollo-Filho AC, de Camargo ER, Barbosa DB. The growing importance of materials that prevent microbial adhesion: antimicrobial effect of medical devices containing silver. Int J Antimicrob Agents. 2009;34(2):103-10.
- 13- Rezaei-Zarchi S, Javed A, Javeed Ghani M, Soufian S, Barzegari Firouzabadi F, Bayanduri Moghaddam A, et al. Comparative Study of Antimicrobial Activities of TiO₂ and CdO Nanoparticles against the Pathogenic Strain of Escherichia coli. Int J Pediatr. 2010;5(2):83-9.
- 14- Mohamed Hamouda I. Current perspectives of nanoparticles in medical and dental biomaterials. J Biomed Res. 2012;26(3):143-51.
- 15- Verran J, Sandoval G, Allen NS, Edge M, Stratton J. Variables affecting the antibacterial properties of nano and pigmentarytitania particles in suspension. J Dye Pig. 2007;73(3):298-304.
- 16- Jandt KD, Sigusch BW. Future perspectives of resin-based dental materials. Dent Mater. 2009;25(8):1001-6.
- 17- Linlin Wang, Chen Hu, Longquan Shao. The antimicrobial activity of nanoparticles: present situation and prospects for the future. Int J Nanomedicine. 2017;12: 1227-49.
- 18- Ren G, Hu D, Cheng EW, Vargas-Reus MA, Reip P, Allaker RP. Characterisation of copper oxide nanoparticles for antimicrobial applications. Int J Antimicrob Agents. 2009;33(6):587-90.
- 19- Cava RJ. Structural chemistry and the local charge picture of copper oxide superconductors. Science. 1990;247(4943):656-62.

- 20-** Sládková M, Vlcková B, Pavel I, Siskova K, Slouf M. Surface-enhanced Raman scattering (SERS) from a single molecularly bridged silver nanoparticle aggregate. *J molstruc.* 2009;567-70.
- 21-** Al-Homaidhi M, Al-Dlaigan YH. Microleakage of a Pit and Fissure Sealant used with Two Brands of Self-etching Adhesives: An In Vitro Study. *J Int Oral Health.* 2016;8(3):332-7.
- 22-** Tabrez Khan S, Ahamed M, Al-Khedhairy A, Musarrat J. Biocidal effect of copper and zinc oxide nanoparticles on human oral microbiome and biofilm formation. *Materials Letters.* 2013;97:67-70.
- 23-** Amiri M, Etemadifar Z, Daneshkazemi A, Nateghi M. Antimicrobial Effect of Copper Oxide Nanoparticles on Some Oral Bacteria and Candida Species. *J Dent Biomater.* 2017;4(1):347-52.
- 24-** Toodehzaeim MH, Zandi H, Meshkani H, Hosseinzadeh Firouzabadi A. The Effect of CuO Nanoparticles on Antimicrobial Effects and Shear Bond Strength of Orthodontic Adhesives. *J Dent Shiraz Univ Med Sci.* 2018;19 (1):1-5.
- 25-** Eshed M, Lelouche J, Matalon S, Gedanken A, Banin E. Sonochemical coatings of ZnO and CuO nanoparticles inhibit Streptococcus mutans biofilm formation on teeth model. *Langmuir.* 2012;28(33):12288-95.
- 26-** Allaker RP. The use of nanoparticles to control oral biofilm formation. *J Dent Res.* 2010; 89(11):1175-86.
- 27-** Koyuturk AE, Kusgoz A, Ulker M, Yesilyurt C. Effects of mechanical and thermal aging on microleakage of different fissure sealants. *Dent Mater J.* 2008; 27:795-801.
- 28-** Gönülol N, Ertaş E, Yılmaz A, Çankaya S. Effect of thermal aging on microleakage of current flowable composite resins. *J Dent Sci.* 2015;10(4):376-82.
- 29-** Zanjani VA, Moravej-Salehi E, Valian A. Effect of Thermocycling and Type of Restorative Material on Microleakage of Class II Restorations. *J Dent Shahid Beheshti Med Univ Sci.* 2016;34(4):202-13.
- 30-** Sakaguchi RL, Powers JM. Craig's restorative dental material. 13th ed. Elsevier 2012. 98-104.
- 31-** McGee S. Evidence-Based Physical Diagnosis.2018. Elsevier Inc. 4th ed. Mouth temprature: an overview. Chapter 18. 135-140.
- 32-** Morales-Quiroga E, Martínez-Sumarán A, Hernández-Sierra JF. Evaluation of Marginal Seal and Microleakage of a Sealant Modified with Silver Nanoparticles in Primary Molars: In Vitro Study. *Odontost-Int. J Dent Sc.* 2014(16):107-13.
- 33-** Teymoornejad K, Alaghehand H, Daryakenari G, Khafri S, Tabari M. Evaluating the Microshear Bond Strength and Microleakage of Flowable Composites Containing Zinc Oxide Nano-particles. *Electron physician.* 2016;8(11):3289-95.
- 34-** Salas-Lopez EK, Pierdant-Perez M, Hernandez-Sierra JF, Ruiz F, Mandeville P, Pozos-Guillen AJ. Effect of Silver Nanoparticle-Added Pit and Fissure Sealant in the Prevention of Dental Caries in Children. *J Clin Pediatr Dent.* 2017;41(1):48-52.
- 35-** Daneshkazemi Ar, Davari Ar, Ghanbarneghad S, Daneshkazemi P, Fallah Cham Assemani N, GhaemiKoushki F. Effect of Mechanical Load Cycling on the Microleakage of the Mixture of Copper Oxide Nanoparticles and Flowable Composite: An in Vitro Study. *J Dent Mashhad Univ Med Sci.* 2020;44(3): 216-27.
- 36-** Daneshkazemi A, Davari A, Akbari MJ, Davoudi A, Badrian H. Effects of thermal and mechanical load cycling on the dentin microtensile bond strength of Single Bond-2. *J Int Oral Health.* 2015;7(8):9-13.
- 37-** Miranda WG, Placido E, Moura SK, Cardoso PE. Influence of postextraction substrate aging on the microtensile bond strength of a dental adhesive system. *J Adhes Dent.* 2005;7(3):193-6.
- 38-** Shahabi S, Ebrahimpour L, Walsh LJ. Microleakage of composite resin restorations in cervical cavities prepared by Er, Cr:YSGG laser radiation. *Aust Dent J.* 2008;53(2):172-5.
- 39-** Saghaei M. Random allocation software for parallel group randomized trials. *BMC Med Res Methodol* 4, 26 (2004).
- 40-** Daneshkazemi AR, Davari AR, Mousavinasab M, Dastjerdi F, Mehrpartou V. Effect of Thermocycling on Microleakage of Class V Resin Composite Restorations Bonded by Self and Total Etch Bondings. *J Dent Shahid Sadoughi Univ Med Sci.* 2011;19(1):1-12.
- 41-** Wahab FK, Shaini FJ, Morgano SM. The effect of thermocycling on microleakage of several commercially available composite Class V restorations in vitro. *J Prosthet Dent.* 2003;90(2):168-74.
- 42-** Atash R, Shayegan A, Poureslami H, Sharifi H, Shadman N. Effect of Thermocycling on Microleakage of New Adhesive Systems on Primary Teeth: An In-Vitro Study. *J Dent Mater Tech.* 2013;2(4):109-13.
- 43-** Haghgoor R, Ataei M, TavassoliHojjati S, Kameli S, Rahimian Imam S. The effect of various amounts of nanohydroxyapatite on the mechanical properties and remineralization of a fissure sealant. *J Dent SBMU.* 2012;30(3):184-91.
- 44-** Copper oxide nanoparticles. In: US Research Nanomaterials Itanp, editor. www.us-nano.com. p. 2.
- 45-** Semisch A, Ohle J, Witt B, Hartwig A. Cytotoxicity and genotoxicity of nano - and microparticulate copper oxide: role of solubility and intracellular bioavailability. Part fibre toxicol. 2014;11:10.
- 46-** Daneshkazemi AR, Davari AR, Modaresi J, Dastjerdi F, Darezereshki M. Effect of flowable composite on Microleakage of packable resin composites in class II cavities. *J Dent Qazvin Univ Med Sci.* 2009;13(3):23-7.
- 47-** Asefzadeh F, Jamshidian M, Naser Valae N. Microleakage of WetBond Self Adhesive Composite in Class V Cavities. *J Dent Mashhad Univ Med Sci.* 2010.34(2):99-108.
- 48-** Siyadat H, Mirfazaelian A. Microleakage and its measurement methods. *J Dent Tehran Univ Med Sci.* 2002;15(2):70-81.